

# ОСОБЕННОСТИ ЗАХВАТА МАГНИТНОГО ПОТОКА ВЫСОКОТЕМПЕРАТУРНЫМИ СВЕРХПРОВОДНИКАМИ $\text{YBa}_2\text{Cu}_3\text{O}_{7-\delta}$ В СЛАБЫХ МАГНИТНЫХ ПОЛЯХ

Е. В. Блинов, П. П. Кулешов, М. Г. Семенченко,  
Ю. П. Степанов, В. Г. Флейшер

Как известно, в сверхпроводниках второго рода после выключения намагничивающего поля  $H$  может сохраняться остаточный магнитный поток, величина которого определяется дефектностью образца [1]. Ниже приводятся результаты исследования явления захвата магнитного потока в монокристалле  $\text{YBa}_2\text{Cu}_3\text{O}_{7-\delta}$  после выключения слабого намагничивающего поля  $H$  (0.5–240 Э). При этом охлаждение ниже  $T_c$  осуществлялось как в нулевом поле (ОНП), так и в намагничивающем поле (ОП).

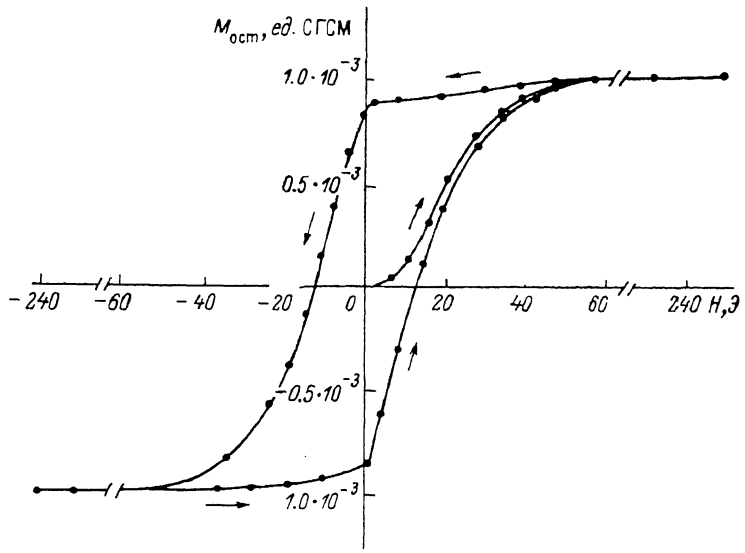


Рис. 1. Зависимость остаточного магнитного момента  $M_{\text{ост}}$  от величины намагничивающего поля.

Остаточная намагченность существенно различается при ОНП и ОП в области слабых полей, однако влияние условий охлаждения уменьшается с ростом поля  $H$  и при  $H \geq 50$  Э остаточная намагченность практически не зависит от этих условий.

Намагченность регистрировалась с помощью квантового магниточувствительного датчика (МЧД) с оптической ориентацией атомов, помещенного в экранированный от внешнего магнитного поля соленоид [2]. Индукция  $B_0$  поля, создаваемого соленоидом, составляла 0.08 Гс, уровень остаточных вариаций не превышал  $10^{-6}$  Гс.

Процедура измерений остаточной намагченности состояла в следующем. После выключения намагничивающего поля  $H$  образец переносился в соленоид и устанавливался в дальней зоне относительно МЧД. Для отделения сигнала, связанного с остаточным потоком, от сигнала диамагнитного экранирования в измерительном поле 0.08 Гс измерения производились при двух отличающихся на  $180^\circ$  ориентациях образца.

На рис. 1 представлена зависимость остаточного магнитного момента  $M_{\text{ост}}$  от намагничивающего поля  $H$  для монокристаллического образца  $\text{YBa}_2\text{Cu}_3\text{O}_{7-\delta}$  с размерами  $2 \times 1 \times 0.02$  мм. Поле  $H$  ориентировалось по нормали к поверхности кристалла. Кривая начального намагничивания и

петля гистерезиса получены после однократного охлаждения образца в нулевом поле. Начиная с полей  $H \geq 50$  Э величина  $M_{\text{ост}}$  перестает изменяться с ростом намагничивающего поля вплоть до его максимального, использованного в эксперименте, значения  $H = 240$  Э. При циклических изменениях поля  $H$  величина  $M_{\text{ост}}$  изменяется вдоль приведенной на рис. 1 петли гистерезиса.

Особый интерес представляет область слабых полей, где наблюдается резкое отличие начальных участков кривых  $M_{\text{ост}}(H)$ , соответствующих ОНП и ОП. На рис. 2 кривая 1 (ОНП) получена при однократном охлаждении образца в нулевом магнитном поле. Каждая точка на кривой 2 (ОП) получена после отогрева образца выше  $T_c$  с его последующим охлаждением в поле  $H$ . В области полей  $H \geq 50$  Э кривые 1 и 2 выходят на одно и то же плато.

Отклонение кривой 1 (ОНП) от нулевой линии, превышающее остаточные вариации прибора, наблюдается после намагничивания в поле  $H \geq 7$  Э. Однако захват потока удается наблюдать уже начиная с по-

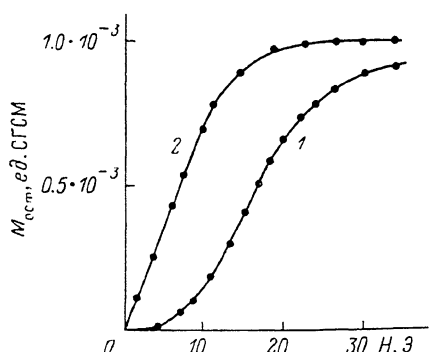


Рис. 2. Начальный участок кривых намагничивания.

лей  $H = 0.5$  Э, если охлаждение производится в намагничивающем поле (кривая 2).

Отметим, что характерные черты зависимостей  $M_{\text{ост}}(H)$  (рис. 1 и 2) — резкое различие начальных участков при ОНП и ОП, гистерезис остаточной намагченности, ее постоянство в больших полях — наблюдались также на керамических и тонкопленочных образцах. В случае керамических образцов удалось наблюдать захват потока после охлаждения в поле  $H = 0.005$  Э.

Интересная особенность монокристалла связана с сильной анизотропией захвата потока. Даже при почти параллельной ориентации поверхности кристалла полю  $H$  остаточная намагченность оказывается направленной вдоль нормали к этой поверхности (вдоль оси  $C$ ).

В отличие от керамических образцов в монокристалле наблюдается крип потока. Величина  $M_{\text{ост}}$ , соответствующая области плато (рис. 1), уменьшается примерно на 10 % за первый час наблюдения. В керамическом же образце, за которым велось наблюдение в течение более двух месяцев, не было обнаружено заметного уменьшения остаточной намагченности.

Предполагая, что наблюдаемый эффект в монокристалле связан с пиннингом вихрей магнитного потока [3], следует обратить внимание на малую величину поля  $H_{c1}$ , при котором в монокристалле становится энергетически выгодным образование вихрей. Если принять, что при ОП (кривая 2 на рис. 2) захват потока в области малых полей связан с образованием вихрей, получим оценку  $H_{c1}^{\text{OP}} \leqslant 0.5$  Э.

Отметим, что максимальная остаточная индукция ( $\sim 10$  Гс), которая была оценена по величине  $M_{\text{ост}}(H)$ , соответствует средней плотности вихрей  $\sim 5 \cdot 10^7$  см $^{-2}$ . Эта максимальная плотность «замороженных» вихрей характеризует некоторую «емкость» кристалла, определяющую его способность удерживать магнитный поток после выключения намагничивающего поля.

Все приведенные выше экспериментальные результаты согласуются с представлением о пиннинге вихрей вдоль осей двойникования в монокристалле.

Авторы благодарны Б. П. Захарчене за обсуждение работы и С. М. Стишову за предоставление монокристалла.

## Л и т е р а т у р а

- [1] Сан Жам Д., Сарма Г., Томас Е. Сверхпроводники второго рода. М.: Мир, 1970.  
364 с.
- [2] Блинов Е. В., Дмитриев С. П., Кулешов П. П., Окуневич А. И. Тез. докл. Всес. семинара по оптической ориентации атомов и молекул. Л., 1986. 54 с.
- [3] Винников Л. Я., Гуревич Л. А., Емельченко Г. А., Осипьян Ю. А. Письма в ЖЭТФ, 1988, т. 47, № 2, с. 109—111.

Физико-технический институт  
им. А. Ф. Иоффе АН СССР  
Ленинград

Поступило в Редакцию  
28 марта 1988 г.

---